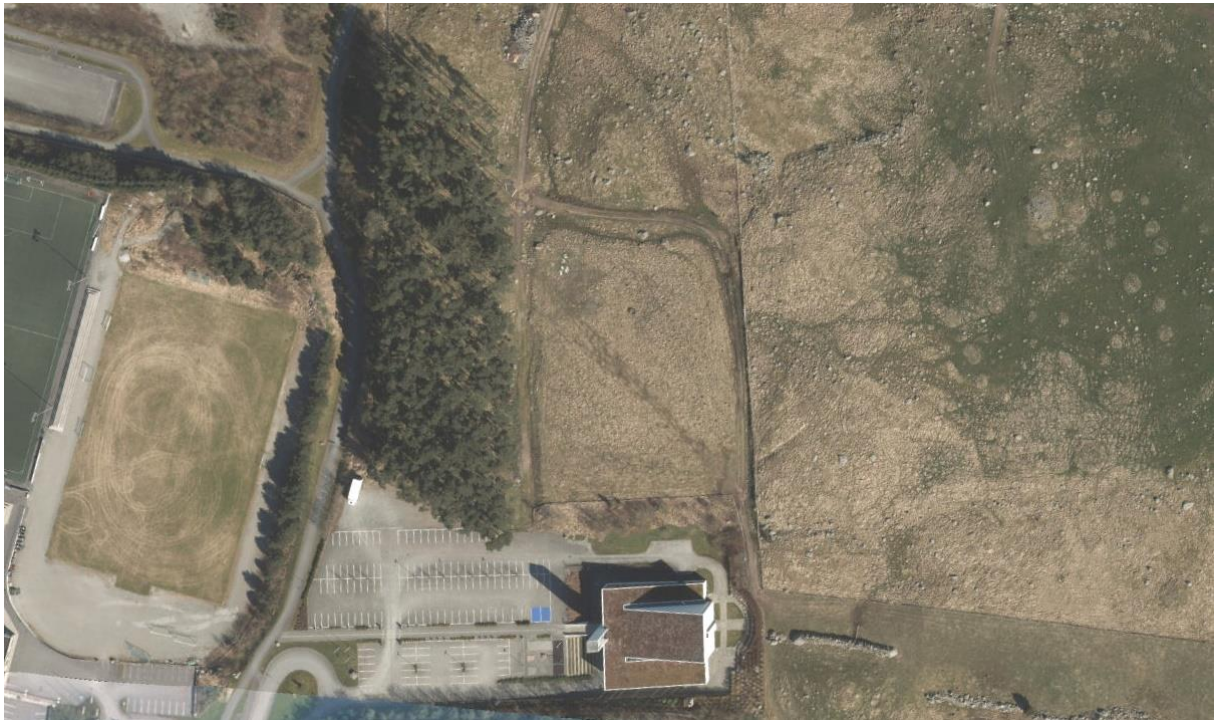


# Miljøtekniske grunnundersøkelser ved Orstad kirke, Klepp kommune



## Resultater og tiltaksplan

Sina Thu Randulff

# **Miljøtekniske grunnundersøkelser ved Orstad kirke, Klepp kommune**

## **Resultater og tiltaksplan**

**Ecofact rapport: 905**

**[www.ecofact.no](http://www.ecofact.no)**

|                                      |  |
|--------------------------------------|--|
| <b>Referanse til rapporten:</b>      | Randulff, S.T. 2022. Miljøtekniske grunnundersøkelser ved Orstad kirke, Klepp kommune. Resultater og tiltaksplan. Ecofact rapport 886. |
| <b>Nøkkelord:</b>                    | Gravplass, forurensning, grunnundersøkelser, massehåndtering   |
| <b>ISSN:</b>                         | 1891-5450  |
| <b>ISBN:</b>                         | 978-82-8262-904-1  |
| <b>Oppdragsgiver:</b>                | Procon Rådgivende Ingeniører   |
| <b>Prosjektleder hos Ecofact AS:</b> | Sina Thu Randulff  |
| <b>Prosjektmedarbeidere:</b>         |  |
| <b>Kvalitetssikret av:</b>           | Hans Olav Sømme  |
| <b>Forside:</b>                      | Tiltaksområde (Norge i bilder)   |

[www.ecofact.no](http://www.ecofact.no)

## INNHOOLD

|  |           |
|--|-----------|
| <b>FORORD</b> .....                                    | <b>1</b>  |
| <b>SAMMENDRAG</b> .....                                | <b>2</b>  |
| <b>1 BAKGRUNN</b> .....                                | <b>3</b>  |
| <b>2 METODE OG GJENNOMFØRING</b> .....                 | <b>5</b>  |
| 2.1 PRØVETAKING .....                                  | 5         |
| 2.1.1 <i>Massesammensetning</i> .....                  | 5         |
| 2.2 ANALYSER.....                                      | 6         |
| 2.3 RISIKOVURDERING TRINN 1.....                       | 7         |
| 2.4 AKSEPTABEL FORURENSNINGSGRAD TIL AREALBRUKEN ..... | 7         |
| <b>3 RESULTATER</b> .....                              | <b>7</b>  |
| 3.1 VURDERING AV GRUNNLAGSDATAENE .....                | 13        |
| <b>4 REFERANSER</b> .....                              | <b>14</b> |
| <b>VEDLEGG - PRØVEBESKRIVELSER</b> .....               | <b>15</b> |
| <b>VEDLEGG - ANALYSERESULTATER</b> .....               | <b>22</b> |

## FORORD

Ecofact har i samarbeid med Procon Rådgivende Ingeniører utført grunnundersøkelser på et utfylt beiteområde som skal omgjøres til gravplass for Frøyland og Orstad kirkelyd. Klepp kommune er tiltakshaver. Området har tidligere blitt utfylt, og innledende grunnundersøkelser våren 2022 avdekket søppel i massene. Hensikten med denne miljøtekniske undersøkelsen var å kartlegge forurensningsgraden til massene. Vi takker for samarbeidet.

Sandnes

22.10.2022

Sina Thu Randulff

## SAMMENDRAG

### Beskrivelse av oppdraget

---

Et utfylt beiteområde på Orstad skal omgjøres til gravplass for Frøyland og Orstad kirkelyd. Under innledende grunnundersøkelser ble det avdekket søppel i massene, og tiltakshaver Klepp kommune initierte derfor en ytterligere miljøteknisk kartlegging. Ecofact har her undersøkt forurensingsgraden til massene gjennom prøvetaking og analyse.

### Datagrunnlag

---

Prøvetakingsplanen (Multiconsult, Supplerende grunn- og miljøundersøkelser for gravplass Orstad 7. juli 2022) vurderte at det var behov for uttak av prøver fra 25 punkter fra det omtrent 10 000 m<sup>2</sup> store tiltaksområdet. Prøvetaking ble utført i henhold til oppsatt plan, med unntak av at et prøvepunkt (12) utgikk som følge av terrengets utforming. Det ble boret ned til 5 meters dybde der det var mulig.

Basert på observasjoner av massesammensetningen i felt, ble det i samråd med tiltakshaver vurdert som tilfredsstillende å sende inn et utvalg prøver til analyse. De analyserte prøvene representerte alle prøver med fyllmassepreg. I tillegg ble alle prøver omkring Multiconsults prøvegravingspunkt 6 (hvor det var påvist plast i dypereliggende jordlag) analysert, samt et representativt utvalg prøver fra ulike dybder, ulike massetyper og med spredt lokalisering.

Totalt ble 26 prøver fra 17 prøvepunkt analysert for tungmetaller, ikke klorerte organiske forbindelser (PAH og BTEX), klorerte organiske forbindelser (PCB) og oljeforbindelser (aromater/alifater). Resultatene ble tilstandsklassifisert etter TA-2553 (2009).

### Resultat

---

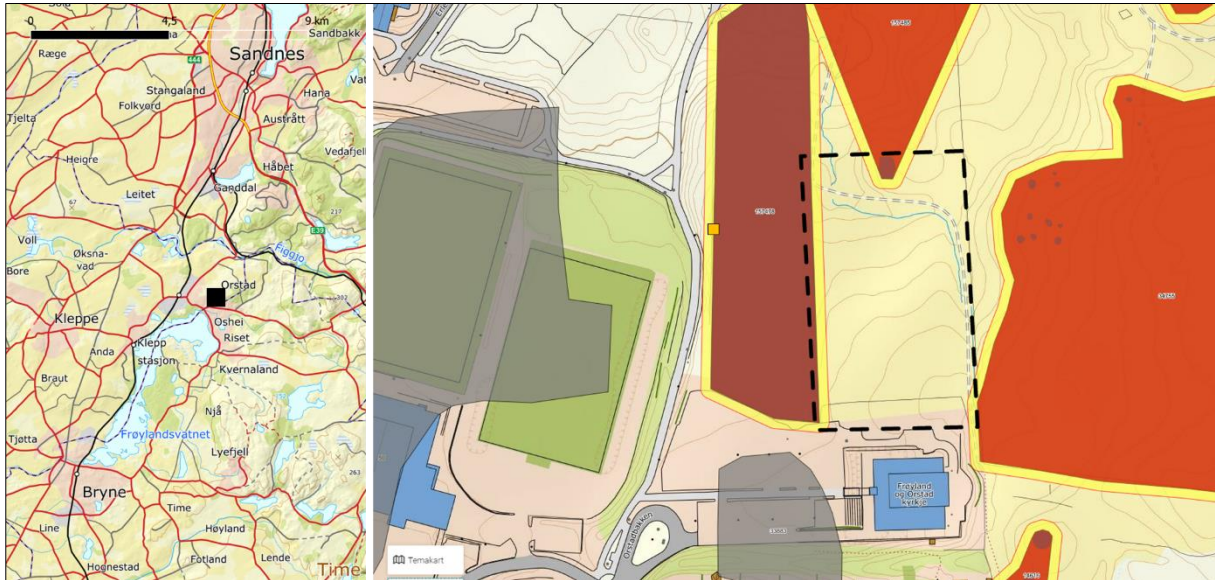
25 punkt ble undersøkt fra toppjorden (0-1 m) og i dybden ned til 5 meter der det var mulig. De påfylte massene i tiltaksområdet fremsto som naturlige og nokså homogene. Det ble funnet tegn til siloplast og mer blandede masser i 8 av 79 prøver, samtlige i dypereliggende jordlag (> 1 m). Resultatene fra analysene av de 26 utvalgte prøvene viste at kun én av disse (16-3, 2-3 m) var forurenset av sink i tilstandsklasse 2 (god). Forurensningen var begrenset til dypereliggende jordlag i overgangen til opprinnelig terrengkote (3 m), der en mindre utfylling/foringsplass synes på flyfoto fra 2002. De øvrige 25 analyserte prøvene hadde konsentrasjoner i tilstandsklasse 1 (bakgrunn).

Multiconsult mistenkte forurensning knyttet til prøvepunkt 6 basert på funn av plast. Dette punktet ble avgrenset av omkringliggende prøvepunkt hvor analyser viste at disse var rene masser. Funn av siloplast i sjiktene mellom påfylt og opprinnelig terrengkote sammenfaller med observasjoner fra felt og flyfoto om foring av beitedyr, og ser ikke ut til å være i direkte sammenheng med grunnforurensning.

Denne kartleggingen har avkreftet mistanken om diffus, homogen forurensning over hele tiltaksområdet. Basert på observasjonene fra feltarbeidet og prøveresultatene vurderer vi at forurensningen er begrenset til dypereliggende jordlag i overgangen til opprinnelig terrengkote i området rundt punkt 16. Prøve 16-4 (3-4 m) dybde kan ettersendes til analyse om det er ønskelig å avgrense dybdeutbredelsen av den påviste forurensningen. Vi vurderer ellers at forståelsen av massesammensetningen i området er god, og ser ikke behov for ytterligere prøvetaking av området.

## 1 BAKGRUNN

På Orstad i Klepp kommune skal det etableres gravplass nord for kirka (figur 1). Området er i dag et jordbruksområde, som har vært brukt som beite. Beiteområdet ble fylt ut samtidig som kirka ble bygd, men flyfoto fra tidlig 2000-tall viser tegn på en mindre utfylling i vestre halvdel (figur 2).



Figur 1. Tiltaksområdet (svartstiplet) er på Orstad i Klepp kommune.



Figur 2. Historisk utvikling av området. Frøyland og Orstad kirke er rett sør for tiltaksområdet. Kilde: Norge i bilder.

Innledende prøvegraving avdekket avfall i massene (plast og rester av gjerdestolpe), noe som fremmet mistanke om grunnforurensning (Kallelid, 2022). Med bakgrunn i dette ble det vurdert

som nødvendig å utføre en miljøteknisk grunnundersøkelse, slik at forurensningsgraden til massene ble bedre kjent - både horisontalt, vertikalt og med tanke på type masse. Basert på tiltaksområdets størrelse på omtrent 10 000 m<sup>2</sup>, ble det iht. veilederen til Miljødirektoratet anbefalt videre prøvetaking fra minimum 26 punkter, ned til 5 meters dybde (Multiconsult, Supplerende grunn- og miljøundersøkelser for gravplass Orstad 7. juli 2022).

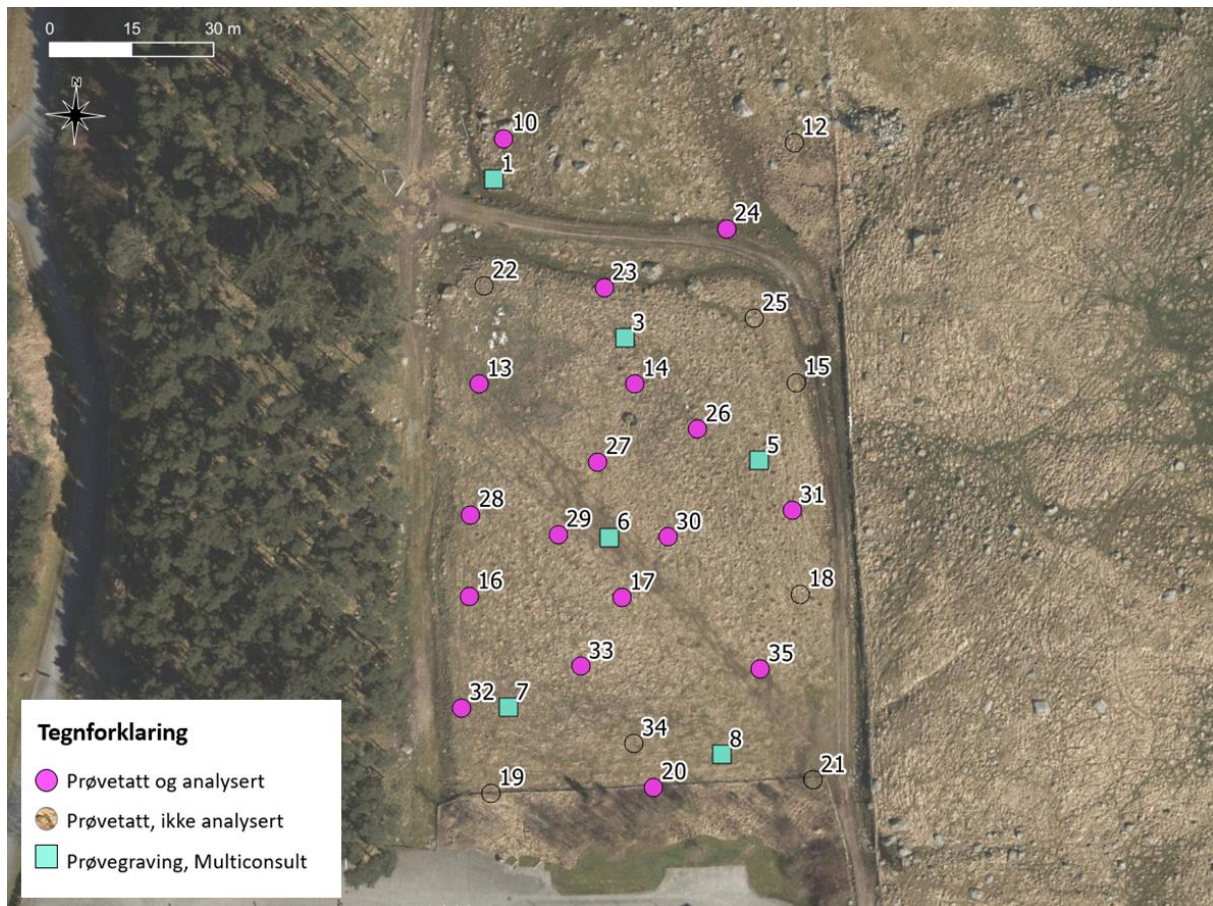
Ecofact har nå utført denne miljøtekniske kartleggingen. Arbeidet er utført i samarbeid med geoteknikk hos Procon Rådgivende Ingeniører og entreprenør Romerike Grunnboring.

Flere kulturminner fra jernalderen er registrert på og rundt selve tiltaksområdet (Temakart Rogaland). Registreringer av rødlistede fuglearter (fiskemåke, gulspurv, granmeis, gråspurv og tyrkerdue) i kategori sårbar og nær trua finnes i tilknytning til tiltaksområdet (Temakart Rogaland). Samtlige registreringer er fra de siste 10 år, men likevel med en feilmargin på over 700 meter.

## 2 METODE OG GJENNOMFØRING

### 2.1 Prøvetaking

Prøvetaking ble gjennomført den 20.09.2022, og det ble boret ned til 5 meter eller grunnere der grove masser forhindret videre boring i dybden. Et prøvepunkt ble utelatt på grunn av grov blokk og fuktig terreng som vanskeliggjorde fremkommeligheten. Se figur 3 for lokalisering av prøvepunktene, og vedlegg for videre detaljer om massesammensetning.



Figur 3. Tiltaksområdet med prøvepunkter.

Massene ble vurdert ut fra tekstur, farge og lukt. Det ble tatt ut prøver fra topplaget (ca. 0 til 100 cm) og det dypere jordlaget (ca. > 100 cm til maksimalt 500 cm). Jordprøvene ble oppbevart i diffusjonstette rilsanposer, og sendt til laboratorium. Prøvetaking ble utført i henhold til veileder TA-2553 (2009), Miljødirektoratets nye, nettbaserte veileder for forurenset grunn og ISO-standard 10381-5.

#### 2.1.1 Massesammensetning

Det øverste jordlaget var påfylt, og hadde en dekning på omtrent 3 meter over hele området. Det naturlige gressdekket fra opprinnelig terreng (før utfylling) var i stor grad bevart. Massene i alle dybder fremsto som naturlige, og samtlige inneholdt mye organisk materiale med varierende grad av silt og grus. Flere av prøvene med organisk materiale hadde anoksisk lukt.

Enkelte biter av trerester var også bevart i det påfylte organiske laget. I området rundt prøvepunkt 6, hvor Multiconsult påtraff plast og trolig rester av gjerdestolper, var massene noe mer blandet. Her ble det funnet plast fra siloballer i overgangen mellom opprinnelig terreng og påfylt masse, i tillegg til en og annen fyllittbit. Totalt sett var det svært få tegn på grunnforurensning. Det ble funnet tegn til søppel eller blandede massetyper kun i 8 av totalt 79 prøver. Mistanken om grunnforurensning ble dermed svekket under prøvetakingen.

Alle prøver med fyllmassepreg, alle prøvepunkt omkring Multiconsults prøvegravingspunkt 6, samt andre representative prøver fra ulike dybder, ulike massetyper og spredt lokalisering ble sendt til analyse.

## 2.2 Analyser

På bakgrunn av liten mistanke om forurensede masser i tiltaksområdet, ble det vurdert som tilstrekkelig med analyse av et utvalg av prøver fordelt ut over tiltaksområdet, og med basis i type masse og dybde. Samtlige prøver rundt prøvepunkt 6 ble analysert, dette for å avgrense mistanken om forurensning. Totalt ble 8 prøver fra toppjord og 18 prøver fra dypereliggende jord (mellom 1 og 5 meter) sendt til analyse, slik tabell 1 viser.

Tabell 1. Antall analyserte prøver fra ulike dybde.

| Dybde (m)  | Antall analyserte prøver |
|------------|--------------------------|
| 0-1        | 8                        |
| 1-2        | 11                       |
| 2-3        | 4                        |
| 3-4        | 1                        |
| 4-5        | 2                        |
| <b>SUM</b> | 26                       |

Prøvene ble analysert for tungmetaller, ikke klorerte organiske forbindelser, klorerte organiske forbindelser og oljeforbindelser, som vist i tabell 2. Alle analyser ble gjennomført av akkreditert laboratorium (Eurofins).

Tabell 2. Gjennomførte analyser i risikovurderingen.

| Gruppe                               | Parameter  |
|--------------------------------------|--|
| Tungmetaller                         | Kvikksølv (Hg), kadmium (Cd), bly (Pb), kobber (Cu), krom (Cr), sink (Zn), nikkel (Ni) og arsen (As) |
| Ikke-klorerte organiske forbindelser | Polyaromatiske hydrokarboner (PAH)   |
| Klorerte organiske forbindelser      | Polyklorerte bifenyler (PCB)   |
| Oljeforbindelser                     | Alifater og aromater   |
| BTEX                                 | Benzen, toluen, etylbenzen og xoulen   |

## 2.3 Risikovurdering trinn 1

Miljøgiftkonsentrasjonene ble sammenlignet med de gjeldende grenseverdiene og tilstandsklassene som er gitt i Miljødirektoratets veileder *Helsebaserte tilstandsklasser for forurenset grunn* TA-2553 (2009). Grenseverdiene og normverdiene er satt ut fra helsebaserte akseptkriterier (gitt tabell 3), og gir grunnlag for å vurdere toksisiteten til jorda.

Tabell 3. Klassifiseringssystem for miljøgifter iht. Veileder TA-2553 (2009).

| Tilstandsklasse       | I<br>Bakgrunn | II<br>God                    | III<br>Moderat               | IV<br>Dårlig                 | V<br>Svært dårlig                   |
|-----------------------|---------------|------------------------------|------------------------------|------------------------------|-------------------------------------|
| Øvre grense styres av | Normverdi     | Helsebaserte akseptkriterier | Helsebaserte akseptkriterier | Helsebaserte akseptkriterier | Nivå som anses å være farlig avfall |

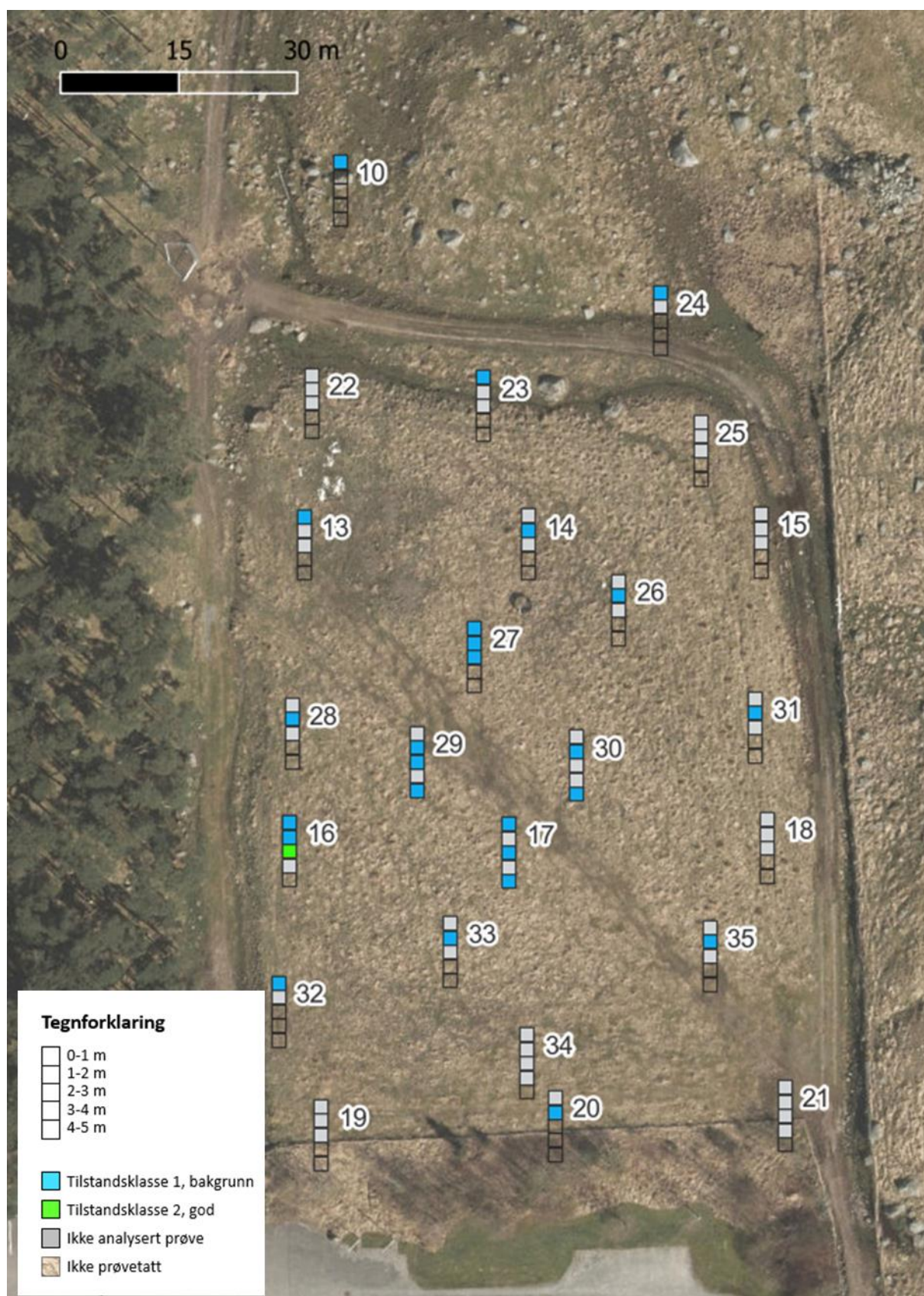
## 2.4 Akseptabel forurensningsgrad til arealbruken

Fremtidig arealbruk for tiltaksområdet kategoriseres som «Sentrumsområder, kontor og forretning» (jf. veileder for forurenset grunn), og indikerer at det i toppjorden kan tillates tilstandsklasse 1-3, mens dypereliggende jordlag (> 1 m) kan ha høyere tilstandsklasse dersom risikovurdering for spredning konkluderer at det er akseptabelt.

## 3 RESULTATER

8 prøver fra toppjord og 18 prøver fra dypereliggende jord (mellom 1 og 5 meter) ble analysert, slik tabell 1 viser. Resultatene fra analysene viser at én prøve, 16-3, hadde forhøyde konsentrasjoner av sink i tilstandsklasse 2 (god). Prøven var av fyllmasser fra 2 til 3 meters dybde. Ved 3 meters dybde ble det påtruffet stedegne, grove masser.

Alle de øvrige 25 analyserte prøvene hadde lave eller ikke detekterbare konsentrasjoner av de undersøkte miljøgiftene (tilstandsklasse 2, bakgrunn). Tabell 4 og 5 presenterer tilstandsklassifiserte analyseresultater og figur 4 viser tiltaksområdet hvor prøvepunkter er fargekodet etter den høyeste påviste tilstandsklassen.



Figur 4. Fargekodene resultater fra de analyserte prøvene i jorddybde 0-5 m, tilstandsklassifisert etter Miljødirektoratets veileder TA-2553 (2009).

Tabell 1. Analyseresultater fra prøve 10-1 til 23-1, tilstandsklassifisert etter Miljødirektoratets veileder TA-2553 (2009).

| Tilstandsklasse                                  | I<br>Bakgrunn |             |             |             |             | II<br>God   |             | III<br>Moderat |             |             | IV<br>Dårlig |             | V<br>Svært dårlig |             |             |
|--|---------------|-------------|-------------|-------------|-------------|-------------|-------------|----------------|-------------|-------------|--------------|-------------|-------------------|-------------|-------------|
|  | 10-1          | 13-1        | 14-2        | 16-1        | 16-2        | 16-3        | 17-1        | 17-3           | 17-5        | 20-2        | 23-1         | 24-1        | 26-2              | 20-2        | 23-1        |
| <b>Stoff / PrøveID med samlet klassifisering</b> | <b>10-1</b>   | <b>13-1</b> | <b>14-2</b> | <b>16-1</b> | <b>16-2</b> | <b>16-3</b> | <b>17-1</b> | <b>17-3</b>    | <b>17-5</b> | <b>20-2</b> | <b>23-1</b>  | <b>24-1</b> | <b>26-2</b>       | <b>20-2</b> | <b>23-1</b> |
| <b>Dybde (cm)</b>                                | 0-50          | 0-120       | 100-200     | 0-80        | 80-180      | 200-300     | 0-100       | 200-300        | 400-480     | 100-170     | 0-130        | 0-80        | 100-200           | 100-170     | 0-130       |
| Arsen (As)                                       | < 1,6         | 3,0         | 2,6         | < 2,9       | < 5,2       | < 2,7       | 3,8         | 3,0            | 2,4         | 1,2         | 4,3          | < 1,1       | 2,6               | 1,2         | 4,3         |
| Bly (Pb)   | 15            | 7,2         | 6,3         | 9,3         | 8,9         | 39          | 11          | 8,7            | 16          | 7,5         | 11           | 3,8         | 13                | 7,5         | 11          |
| Kadmium (Cd)                                     | < 0,32        | < 0,35      | < 0,47      | < 0,57      | < 1,1       | < 0,53      | < 0,38      | < 0,37         | < 0,32      | < 0,25      | < 0,51       | < 0,21      | < 0,34            | < 0,25      | < 0,51      |
| Kvikksølv (Hg)                                   | 0,068         | 0,038       | 0,039       | 0,067       | < 0,052     | 0,13        | 0,038       | 0,033          | 0,052       | 0,033       | 0,060        | < 0,011     | 0,056             | 0,033       | 0,060       |
| Kobber (Cu)                                      | 3,2           | 10          | 11          | 9,3         | 25          | 13          | 12          | 9,3            | 12          | 3,9         | 24           | 3,7         | 6,0               | 3,9         | 24          |
| Sink (Zn)  | 16            | 30          | 34          | 24          | 170         | 210         | 40          | 30             | 140         | 16          | 63           | 18          | 19                | 16          | 63          |
| Krom (Cr)  | 7,2           | 12          | 9,3         | 8,9         | 8,9         | 13          | 10          | 9,4            | 12          | 5,4         | 23           | 9,0         | 9,0               | 5,4         | 23          |
| Nikkel (Ni)                                      | 2,3           | 6,3         | 6,2         | 4,8         | 6,5         | 5,4         | 5,5         | 4,8            | 5,3         | 2,6         | 12           | 4,5         | 3,1               | 2,6         | 12          |
| PCB 28   | <0,0015       | <0,0015     | <0,0016     | <0,0019     | <0,0034     | <0,018      | <0,0015     | <0,0015        | <0,0015     | <0,0015     | <0,0017      | <0,0015     | <0,0015           | <0,0015     | <0,0017     |
| PCB 52   | <0,0015       | <0,0015     | <0,0016     | <0,0019     | <0,0034     | <0,018      | <0,0015     | <0,0015        | <0,0015     | <0,0015     | <0,0017      | <0,0015     | <0,0015           | <0,0015     | <0,0017     |
| PCB 101  | <0,0015       | <0,0015     | <0,0016     | <0,0019     | <0,0034     | <0,018      | <0,0015     | <0,0015        | <0,0015     | <0,0015     | <0,0017      | <0,0015     | <0,0015           | <0,0015     | <0,0017     |
| PCB 118  | <0,0015       | <0,0015     | <0,0016     | <0,0019     | <0,0034     | <0,018      | <0,0015     | <0,0015        | <0,0015     | <0,0015     | <0,0017      | <0,0015     | <0,0015           | <0,0015     | <0,0017     |
| PCB 153  | <0,0015       | <0,0015     | <0,0016     | <0,0019     | <0,0034     | <0,018      | <0,0015     | <0,0015        | <0,0015     | <0,0015     | <0,0017      | <0,0015     | <0,0015           | <0,0015     | <0,0017     |
| PCB 138  | <0,0015       | <0,0015     | <0,0016     | <0,0019     | <0,0034     | <0,018      | <0,0015     | <0,0015        | <0,0015     | <0,0015     | <0,0017      | <0,0015     | <0,0015           | <0,0015     | <0,0017     |
| PCB 180  | <0,0015       | <0,0015     | <0,0016     | <0,0019     | <0,0034     | <0,018      | <0,0015     | <0,0015        | <0,0015     | <0,0015     | <0,0017      | <0,0015     | <0,0015           | <0,0015     | <0,0017     |
| Sum 7 PCB  | nd            | nd          | nd          | nd          | nd          | nd          | nd          | nd             | nd          | nd          | nd           | nd          | nd                | nd          | nd          |
| Naftalen   | < 0,030       | < 0,030     | < 0,031     | < 0,038     | < 0,068     | < 0,29      | < 0,030     | < 0,030        | < 0,030     | < 0,030     | < 0,033      | < 0,030     | < 0,030           | < 0,030     | < 0,033     |
| Acenaftylen                                      | < 0,030       | < 0,030     | < 0,031     | < 0,038     | < 0,068     | < 0,29      | < 0,030     | < 0,030        | < 0,030     | < 0,030     | < 0,033      | < 0,030     | < 0,030           | < 0,030     | < 0,033     |
| Acenaften  | < 0,030       | < 0,030     | < 0,031     | < 0,038     | < 0,068     | < 0,29      | < 0,030     | < 0,030        | < 0,030     | < 0,030     | < 0,033      | < 0,030     | < 0,030           | < 0,030     | < 0,033     |
| Fluoren  | < 0,030       | < 0,030     | < 0,031     | < 0,038     | < 0,068     | < 0,29      | < 0,030     | < 0,030        | < 0,030     | < 0,030     | < 0,033      | < 0,030     | < 0,030           | < 0,030     | < 0,033     |
| Fenantren  | < 0,030       | < 0,030     | < 0,031     | < 0,038     | < 0,068     | < 0,29      | < 0,030     | < 0,030        | < 0,030     | < 0,030     | < 0,033      | < 0,030     | < 0,030           | < 0,030     | < 0,033     |
| Antracen   | < 0,030       | < 0,030     | < 0,031     | < 0,038     | < 0,068     | < 0,29      | < 0,030     | < 0,030        | < 0,030     | < 0,030     | < 0,033      | < 0,030     | < 0,030           | < 0,030     | < 0,033     |
| Fluoranten                                       | < 0,030       | < 0,030     | < 0,031     | < 0,038     | < 0,068     | < 0,29      | < 0,030     | < 0,030        | < 0,030     | < 0,030     | < 0,033      | < 0,030     | < 0,030           | < 0,030     | < 0,033     |
| Pyren  | < 0,030       | < 0,030     | < 0,031     | < 0,038     | < 0,068     | < 0,29      | < 0,030     | < 0,030        | < 0,030     | < 0,030     | < 0,033      | < 0,030     | < 0,030           | < 0,030     | < 0,033     |
| Benzo[a]antracen                                 | < 0,030       | < 0,030     | < 0,031     | < 0,038     | < 0,068     | < 0,29      | < 0,030     | < 0,030        | < 0,030     | < 0,030     | < 0,033      | < 0,030     | < 0,030           | < 0,030     | < 0,033     |
| Benzo[a]pyren                                    | < 0,030       | < 0,030     | < 0,031     | < 0,038     | < 0,068     | < 0,29      | < 0,030     | < 0,030        | < 0,030     | < 0,030     | < 0,033      | < 0,030     | < 0,030           | < 0,030     | < 0,033     |
| Krysen/Trifenylen                                | < 0,030       | < 0,030     | < 0,031     | < 0,038     | < 0,068     | < 0,29      | < 0,030     | < 0,030        | < 0,030     | < 0,030     | < 0,033      | < 0,030     | < 0,030           | < 0,030     | < 0,033     |
| Benzo(b,k)fluoranten                             | < 0,030       | < 0,030     | < 0,031     | 0,14        | < 0,068     | < 0,29      | 0,064       | 0,054          | 0,065       | < 0,030     | 0,048        | < 0,030     | 0,042             | < 0,030     | 0,048       |

| Stoff / PrøveID med samlet klassifisering | 10-1    | 13-1    | 14-2    | 16-1    | 16-2    | 16-3    | 17-1    | 17-3    | 17-5    | 20-2    | 23-1    | 24-1    | 26-2    | 20-2    | 23-1    |
|---|---------|---------|---------|---------|---------|---------|---------|---------|---------|---------|---------|---------|---------|---------|---------|
| <b>Dybde (cm)</b>                         | 0-50    | 0-120   | 100-200 | 0-80    | 80-180  | 200-300 | 0-100   | 200-300 | 400-480 | 100-170 | 0-130   | 0-80    | 100-200 | 100-170 | 0-130   |
| Dibenzo[a,h]antracen                      | < 0,030 | < 0,030 | < 0,031 | < 0,038 | < 0,068 | < 0,29  | < 0,030 | < 0,030 | < 0,030 | < 0,030 | < 0,033 | < 0,030 | < 0,030 | < 0,030 | < 0,033 |
| Benzo[ghi]perylene                        | < 0,030 | < 0,030 | < 0,031 | < 0,038 | < 0,068 | < 0,29  | < 0,030 | < 0,030 | < 0,030 | < 0,030 | < 0,033 | < 0,030 | < 0,030 | < 0,030 | < 0,033 |
| Sum PAH(16) EPA                           | nd      | nd      | nd      | 0,14    | nd      | nd      | 0,064   | 0,054   | 0,065   | nd      | 0,048   | nd      | 0,042   | nd      | -       |
| Methylchryser/ benzo(a)anthracener        | < 0,50  | < 0,50  | < 0,52  | < 0,63  | < 1,1   | < 4,4   | < 0,50  | < 0,50  | < 0,50  | < 0,50  | < 0,57  | < 0,50  | < 0,50  | < 0,50  | < 0,57  |
| Methylpyrene/ fluoranthene                | < 0,50  | < 0,50  | < 0,52  | < 0,63  | < 1,1   | < 4,4   | < 0,50  | < 0,50  | < 0,50  | < 0,50  | < 0,57  | < 0,50  | < 0,50  | < 0,50  | < 0,57  |
| Sum karsinogene PAH                       | nd      | nd      | nd      | 0,14    | nd      | nd      | 0,064   | 0,054   | 0,065   | nd      | 0,048   | nd      | 0,042   | nd      | 0,048   |
| Benzen                                    | <0,0035 | <0,0035 | <0,0035 | <0,0046 | <0,0085 | <0,0035 | <0,0035 | <0,0035 | <0,0035 | <0,0035 | <0,0040 | <0,0035 | <0,0035 | <0,0035 | <0,0040 |
| Toluen                                    | < 0,10  | < 0,10  | < 0,10  | < 0,10  | < 0,10  | < 0,10  | < 0,10  | < 0,10  | < 0,10  | < 0,10  | < 0,10  | < 0,10  | < 0,10  | < 0,10  | < 0,10  |
| Etylbenzen                                | < 0,10  | < 0,10  | < 0,10  | < 0,10  | < 0,10  | < 0,10  | < 0,10  | < 0,10  | < 0,10  | < 0,10  | < 0,10  | < 0,10  | < 0,10  | < 0,10  | < 0,10  |
| m/p/o-Xylen                               | < 0,10  | < 0,10  | < 0,10  | < 0,10  | < 0,10  | < 0,10  | < 0,10  | < 0,10  | < 0,10  | < 0,10  | < 0,10  | < 0,10  | < 0,10  | < 0,10  | < 0,10  |
| Alifater C5-C6                            | < 7,0   | < 7,0   | < 7,0   | < 7,0   | < 7,0   | < 7,0   | < 7,0   | < 7,0   | < 7,0   | < 7,0   | < 7,0   | < 7,0   | < 7,0   | < 7,0   | < 7,0   |
| Alifater >C6-C8                           | < 7,0   | < 7,0   | < 7,0   | < 7,0   | < 7,0   | < 7,0   | < 7,0   | < 7,0   | < 7,0   | < 7,0   | < 7,0   | < 7,0   | < 7,0   | < 7,0   | < 7,0   |
| Alifater >C8-C10                          | < 3,0   | < 3,0   | < 3,0   | < 3,0   | < 3,0   | < 3,0   | < 3,0   | < 3,0   | < 3,0   | < 3,0   | < 3,0   | < 3,0   | < 3,0   | < 3,0   | < 3,0   |
| Alifater >C10-C12                         | < 5,0   | < 5,0   | < 5,2   | < 6,3   | < 11    | < 44    | < 5,0   | < 5,0   | < 5,0   | < 5,0   | < 5,6   | < 5,0   | < 5,0   | < 5,0   | < 5,6   |
| Alifater >C12-C16                         | < 5,0   | < 5,0   | < 5,2   | < 6,3   | < 11    | < 44    | < 5,0   | < 5,0   | < 5,0   | < 5,0   | < 5,6   | < 5,0   | < 5,0   | < 5,0   | < 5,6   |
| Alifater >C16-C35                         | < 10    | 16      | 19      | 30      | 45      | 93      | 24      | 25      | 13      | < 10    | 15      | < 10    | 18      | < 10    | 15      |
| Alifater >C12-C35                         | nd      | 16      | 19      | 30      | 45      | 93      | 24      | 25      | 13      | nd      | 15      | nd      | 18      | nd      | 15      |
| Alifater C5-C35                           | nd      | 16      | 19      | 30      | 45      | 93      | 24      | 25      | 13      | nd      | 15      | nd      | 18      | nd      | 15      |
| Aromater >C8-C10                          | < 4,0   | < 4,0   | < 4,0   | < 4,0   | < 4,0   | < 4,0   | < 4,0   | < 4,0   | < 4,0   | < 4,0   | < 4,0   | < 4,0   | < 4,0   | < 4,0   | < 4,0   |
| Aromater >C10-C16                         | < 0,90  | < 0,90  | < 0,93  | < 1,1   | < 2,0   | < 8,7   | < 0,90  | < 0,90  | < 0,90  | < 0,90  | < 1,0   | < 0,90  | < 0,90  | < 0,90  | < 1,0   |
| Aromater >C16-C35                         | < 0,50  | < 0,50  | < 0,52  | < 0,63  | < 1,1   | < 4,4   | < 0,50  | < 0,50  | < 0,50  | < 0,50  | < 0,57  | < 0,50  | < 0,50  | < 0,50  | < 0,57  |
| Oljetype < C10                            | Utgår   |
| Oljetype > C10                            | Utgår   | Uspes.  | Utgår   | Uspes.  | Utgår   | Uspes.  | Utgår   | Uspes.  |
| Tørrstoff (%)                             | 56,9    | 52,7    | 38,6    | 31,6    | 17,6    | 34,3    | 48,2    | 49,1    | 57,5    | 73,1    | 35,9    | 88,8    | 53,6    | 73,1    | 35,9    |
| Totalt organisk karbon kalkulert (% TS)   | -       | -       | -       | -       | -       | 27,6    | -       | -       | 9,9     | -       | -       | -       | -       | -       | -       |
| Total tørrstoff glødetap (% TS)           | -       | -       | -       | -       | -       | 48,4    | -       | -       | 17,3    | -       | -       | -       | -       | -       | -       |

Tabell 2. Analyseresultater fra prøve 24-1 til 35-3, tilstandsklassifisert etter Miljødirektoratets veileder TA-2553 (2009).

| Tilstandsklasse                                  | I<br>Bakgrunn |             |             |             |             | II<br>God   |             | III<br>Moderat |             |             | IV<br>Dårlig |             | V<br>Svært dårlig |             |             |
|--|---------------|-------------|-------------|-------------|-------------|-------------|-------------|----------------|-------------|-------------|--------------|-------------|-------------------|-------------|-------------|
|  | 24-1          | 26-2        | 27-1        | 27-2        | 27-3        | 28-2        | 29-2        | 29-3           | 29-5        | 30-2        | 30-5         | 31-2        | 32-1              | 33-2        | 35-3        |
| <b>Stoff / PrøveID med samlet klassifisering</b> | <b>24-1</b>   | <b>26-2</b> | <b>27-1</b> | <b>27-2</b> | <b>27-3</b> | <b>28-2</b> | <b>29-2</b> | <b>29-3</b>    | <b>29-5</b> | <b>30-2</b> | <b>30-5</b>  | <b>31-2</b> | <b>32-1</b>       | <b>33-2</b> | <b>35-3</b> |
| <b>Dybde (cm)</b>                                | 0-80          | 100-200     | 0-100       | 100-200     | 200-280     | 100-200     | 100-200     | 200-300        | 380-450     | 100-200     | 400-450      | 100-200     | 0-100             | 100-200     | 140-200     |
| Arsen (As)                                       | < 1,1         | 2,6         | 4,0         | 3,5         | 1,8         | < 1,2       | 2,4         | 2,2            | < 1,1       | 3,8         | 2,3          | 3,5         | 2,0               | 1,8         | < 1,4       |
| Bly (Pb)   | 3,8           | 13          | 9,4         | 13          | 7,2         | 7,5         | 8,2         | 11             | 4,2         | 12          | 11           | 7,7         | 8,6               | 9,1         | 4,9         |
| Kadmium (Cd)                                     | < 0,21        | < 0,34      | < 0,57      | < 0,38      | < 0,29      | < 0,24      | < 0,33      | < 0,30         | < 0,21      | < 0,35      | < 0,37       | < 0,60      | < 0,32            | < 0,24      | < 0,29      |
| Kvikksølv (Hg)                                   | < 0,011       | 0,056       | 0,040       | 0,047       | 0,024       | 0,029       | 0,027       | 0,049          | < 0,011     | 0,066       | 0,063        | 0,049       | 0,033             | 0,029       | 0,017       |
| Kobber (Cu)                                      | 3,7           | 6,0         | 11          | 10          | 6,1         | 3,0         | 7,2         | 9,5            | 4,2         | 14          | 9,4          | 13          | 8,2               | 7,4         | 4,9         |
| Sink (Zn)  | 18            | 19          | 34          | 38          | 24          | 16          | 28          | 36             | 21          | 33          | 16           | 33          | 27                | 26          | 19          |
| Krom (Cr)  | 9,0           | 9,0         | 10          | 10          | 5,2         | 4,2         | 6,6         | 9,9            | 8,1         | 14          | 10           | 11          | 8,9               | 9,2         | 5,1         |
| Nikkel (Ni)                                      | 4,5           | 3,1         | 6,0         | 5,2         | 2,6         | 2,1         | 3,6         | 4,3            | 3,4         | 5,8         | 4,2          | 8,1         | 3,8               | 3,7         | 3,4         |
| PCB 28   | < 0,0015      | < 0,0015    | < 0,0018    | < 0,013     | < 0,0015    | < 0,0015    | < 0,0015    | < 0,0015       | < 0,0015    | < 0,0015    | < 0,0015     | < 0,0020    | < 0,0015          | < 0,0015    | < 0,0015    |
| PCB 52   | < 0,0015      | < 0,0015    | < 0,0018    | < 0,013     | < 0,0015    | < 0,0015    | < 0,0015    | < 0,0015       | < 0,0015    | < 0,0015    | < 0,0015     | < 0,0020    | < 0,0015          | < 0,0015    | < 0,0015    |
| PCB 101  | < 0,0015      | < 0,0015    | < 0,0018    | < 0,013     | < 0,0015    | < 0,0015    | < 0,0015    | < 0,0015       | < 0,0015    | < 0,0015    | < 0,0015     | < 0,0020    | < 0,0015          | < 0,0015    | < 0,0015    |
| PCB 118  | < 0,0015      | < 0,0015    | < 0,0018    | < 0,013     | < 0,0015    | < 0,0015    | < 0,0015    | < 0,0015       | < 0,0015    | < 0,0015    | < 0,0015     | < 0,0020    | < 0,0015          | < 0,0015    | < 0,0015    |
| PCB 153  | < 0,0015      | < 0,0015    | < 0,0018    | < 0,013     | < 0,0015    | < 0,0015    | < 0,0015    | < 0,0015       | < 0,0015    | < 0,0015    | < 0,0015     | < 0,0020    | < 0,0015          | < 0,0015    | < 0,0015    |
| PCB 138  | < 0,0015      | < 0,0015    | < 0,0018    | < 0,013     | < 0,0015    | < 0,0015    | < 0,0015    | < 0,0015       | < 0,0015    | < 0,0015    | < 0,0015     | < 0,0020    | < 0,0015          | < 0,0015    | < 0,0015    |
| PCB 180  | < 0,0015      | < 0,0015    | < 0,0018    | < 0,013     | < 0,0015    | < 0,0015    | < 0,0015    | < 0,0015       | < 0,0015    | < 0,0015    | < 0,0015     | < 0,0020    | < 0,0015          | < 0,0015    | < 0,0015    |
| Sum 7 PCB  | nd            | nd          | nd          | nd          | nd          | nd          | nd          | nd             | nd          | nd          | nd           | nd          | nd                | nd          | nd          |
| Naftalen   | < 0,030       | < 0,030     | < 0,037     | < 0,21      | < 0,030     | < 0,030     | < 0,030     | < 0,030        | < 0,030     | < 0,030     | < 0,030      | < 0,040     | < 0,030           | < 0,030     | < 0,030     |
| Acenaftalen                                      | < 0,030       | < 0,030     | < 0,037     | < 0,21      | < 0,030     | < 0,030     | < 0,030     | < 0,030        | < 0,030     | < 0,030     | < 0,030      | < 0,040     | < 0,030           | < 0,030     | < 0,030     |
| Acenaften  | < 0,030       | < 0,030     | < 0,037     | < 0,21      | < 0,030     | < 0,030     | < 0,030     | < 0,030        | < 0,030     | < 0,030     | < 0,030      | < 0,040     | < 0,030           | < 0,030     | < 0,030     |
| Fluoren  | < 0,030       | < 0,030     | < 0,037     | < 0,21      | < 0,030     | < 0,030     | < 0,030     | < 0,030        | < 0,030     | < 0,030     | < 0,030      | < 0,040     | < 0,030           | < 0,030     | < 0,030     |
| Fenantren  | < 0,030       | < 0,030     | < 0,037     | < 0,21      | < 0,030     | < 0,030     | < 0,030     | < 0,030        | < 0,030     | < 0,030     | < 0,030      | < 0,040     | < 0,030           | < 0,030     | < 0,030     |
| Antracen   | < 0,030       | < 0,030     | < 0,037     | < 0,21      | < 0,030     | < 0,030     | < 0,030     | < 0,030        | < 0,030     | < 0,030     | < 0,030      | < 0,040     | < 0,030           | < 0,030     | < 0,030     |
| Fluoranten                                       | < 0,030       | < 0,030     | < 0,037     | < 0,21      | < 0,030     | < 0,030     | < 0,030     | < 0,030        | < 0,030     | < 0,030     | < 0,030      | < 0,040     | < 0,030           | < 0,030     | < 0,030     |
| Pyren  | < 0,030       | < 0,030     | < 0,037     | < 0,21      | < 0,030     | < 0,030     | < 0,030     | < 0,030        | < 0,030     | < 0,030     | < 0,030      | < 0,040     | < 0,030           | < 0,030     | < 0,030     |
| Benzo[a]antracen                                 | < 0,030       | < 0,030     | < 0,037     | < 0,21      | < 0,030     | < 0,030     | < 0,030     | < 0,030        | < 0,030     | < 0,030     | < 0,030      | < 0,040     | < 0,030           | < 0,030     | < 0,030     |
| Benzo[a]pyren                                    | < 0,030       | < 0,030     | < 0,037     | < 0,21      | < 0,030     | < 0,030     | < 0,030     | < 0,030        | < 0,030     | < 0,030     | < 0,030      | < 0,040     | < 0,030           | < 0,030     | < 0,030     |
| Krysen/Trifenylene                               | < 0,030       | < 0,030     | < 0,037     | < 0,21      | < 0,030     | < 0,030     | < 0,030     | < 0,030        | < 0,030     | < 0,030     | < 0,030      | < 0,040     | < 0,030           | < 0,030     | < 0,030     |
| Benzo(b,k)fluoranten                             | < 0,030       | 0,042       | 0,050       | < 0,21      | 0,035       | < 0,030     | < 0,030     | 0,040          | < 0,030     | 0,041       | 0,047        | 0,048       | 0,036             | 0,034       | < 0,030     |
| Indeno[1,2,3-cd]pyren                            | < 0,030       | < 0,030     | < 0,037     | < 0,21      | < 0,030     | < 0,030     | < 0,030     | < 0,030        | < 0,030     | < 0,030     | < 0,030      | < 0,040     | < 0,030           | < 0,030     | < 0,030     |
| Dibenzo[a,h]antracen                             | < 0,030       | < 0,030     | < 0,037     | < 0,21      | < 0,030     | < 0,030     | < 0,030     | < 0,030        | < 0,030     | < 0,030     | < 0,030      | < 0,040     | < 0,030           | < 0,030     | < 0,030     |

| Stoff / PrøveID med samlet klassifisering  | 24-1     | 26-2     | 27-1     | 27-2     | 27-3     | 28-2     | 29-2     | 29-3     | 29-5     | 30-2     | 30-5     | 31-2     | 32-1     | 33-2     | 35-3     |
|--|----------|----------|----------|----------|----------|----------|----------|----------|----------|----------|----------|----------|----------|----------|----------|
| <b>Dybde (cm)</b>                          | 0-80     | 100-200  | 0-100    | 100-200  | 200-280  | 100-200  | 100-200  | 200-300  | 380-450  | 100-200  | 400-450  | 100-200  | 0-100    | 100-200  | 140-200  |
| Benzo[ghi]perylen                          | < 0,030  | < 0,030  | < 0,037  | < 0,21   | < 0,030  | < 0,030  | < 0,030  | < 0,030  | < 0,030  | < 0,030  | < 0,030  | < 0,040  | < 0,030  | < 0,030  | < 0,030  |
| Sum PAH(16) EPA                            | nd       | 0,042    | 0,050    | nd       | 0,035    | nd       | nd       | 0,040    | nd       | 0,041    | 0,047    | 0,048    | 0,036    | 0,034    | nd       |
| Methylchryserer/<br>benzo(a)anthracener    | < 0,50   | < 0,50   | < 0,61   | < 3,1    | < 0,50   | < 0,50   | < 0,50   | < 0,50   | < 0,50   | < 0,50   | < 0,50   | < 0,66   | < 0,50   | < 0,50   | < 0,50   |
| Methylpyrene/<br>fluoranthense             | < 0,50   | < 0,50   | < 0,61   | < 3,1    | < 0,50   | < 0,50   | < 0,50   | < 0,50   | < 0,50   | < 0,50   | < 0,50   | < 0,66   | < 0,50   | < 0,50   | < 0,50   |
| Sum karsinogene PAH                        | nd       | 0,042    | 0,050    | nd       | 0,035    | nd       | nd       | 0,040    | nd       | 0,041    | 0,047    | 0,048    | 0,036    | 0,034    | nd       |
| Benzen                                     | < 0,0035 | < 0,0035 | < 0,0045 | < 0,0035 | < 0,0035 | < 0,0035 | < 0,0035 | < 0,0035 | < 0,0035 | < 0,0035 | < 0,0035 | < 0,0048 | < 0,0035 | < 0,0035 | < 0,0035 |
| Toluen                                     | < 0,10   | < 0,10   | < 0,10   | < 0,10   | < 0,10   | < 0,10   | < 0,10   | < 0,10   | < 0,10   | < 0,10   | < 0,10   | < 0,10   | < 0,10   | < 0,10   | < 0,10   |
| Etylbenzen                                 | < 0,10   | < 0,10   | < 0,10   | < 0,10   | < 0,10   | < 0,10   | < 0,10   | < 0,10   | < 0,10   | < 0,10   | < 0,10   | < 0,10   | < 0,10   | < 0,10   | < 0,10   |
| m/p/o-Xylen                                | < 0,10   | < 0,10   | < 0,10   | < 0,10   | < 0,10   | < 0,10   | < 0,10   | < 0,10   | < 0,10   | < 0,10   | < 0,10   | < 0,10   | < 0,10   | < 0,10   | < 0,10   |
| Alifater C5-C6                             | < 7,0    | < 7,0    | < 7,0    | < 7,0    | < 7,0    | < 7,0    | < 7,0    | < 7,0    | < 7,0    | < 7,0    | < 7,0    | < 7,0    | < 7,0    | < 7,0    | < 7,0    |
| Alifater >C6-C8                            | < 7,0    | < 7,0    | < 7,0    | < 7,0    | < 7,0    | < 7,0    | < 7,0    | < 7,0    | < 7,0    | < 7,0    | < 7,0    | < 7,0    | < 7,0    | < 7,0    | < 7,0    |
| Alifater >C8-C10                           | < 3,0    | < 3,0    | < 3,0    | < 3,0    | < 3,0    | < 3,0    | < 3,0    | < 3,0    | < 3,0    | < 3,0    | < 3,0    | < 3,0    | < 3,0    | < 3,0    | < 3,0    |
| Alifater >C10-C12                          | < 5,0    | < 5,0    | < 6,1    | < 31     | < 5,0    | < 5,0    | < 5,0    | < 5,0    | < 5,0    | < 5,0    | < 5,0    | < 6,6    | < 5,0    | < 5,0    | < 5,0    |
| Alifater >C12-C16                          | < 5,0    | < 5,0    | < 6,1    | < 31     | < 5,0    | < 5,0    | < 5,0    | < 5,0    | < 5,0    | < 5,0    | < 5,0    | < 6,6    | < 5,0    | < 5,0    | < 5,0    |
| Alifater >C16-C35                          | < 10     | 18       | 29       | 73       | 25       | < 10     | 11       | 16       | < 10     | 12       | 17       | 14       | 12       | 12       | < 10     |
| Alifater >C12-C35                          | nd       | 18       | 29       | 73       | 25       | nd       | 11       | 16       | nd       | 12       | 17       | 14       | 12       | 12       | nd       |
| Alifater C5-C35                            | nd       | 18       | 29       | 73       | 25       | nd       | 11       | 16       | nd       | 12       | 17       | 14       | 12       | 12       | nd       |
| Aromater >C8-C10                           | < 4,0    | < 4,0    | < 4,0    | < 4,0    | < 4,0    | < 4,0    | < 4,0    | < 4,0    | < 4,0    | < 4,0    | < 4,0    | < 4,0    | < 4,0    | < 4,0    | < 4,0    |
| Aromater >C10-C16                          | < 0,90   | < 0,90   | < 1,1    | < 6,2    | < 0,90   | < 0,90   | < 0,90   | < 0,90   | < 0,90   | < 0,90   | < 0,90   | < 1,2    | < 0,90   | < 0,90   | < 0,90   |
| Aromater >C16-C35                          | < 0,50   | < 0,50   | < 0,61   | < 3,1    | < 0,50   | < 0,50   | < 0,50   | < 0,50   | < 0,50   | < 0,50   | < 0,50   | < 0,66   | < 0,50   | < 0,50   | < 0,50   |
| Oljetype < C10                             | Utgår    |
| Oljetype > C10                             | Utgår    | Uspes.   | Uspes.   | Uspes.   | Uspes.   | Utgår    | Uspes.   | Uspes.   | Utgår    | Uspes.   | Uspes.   | Uspes.   | Uspes.   | Uspes.   | Utgår    |
| Tørstoff (%)                               | 88,8     | 53,6     | 32,6     | 48,4     | 65,9     | 76,0     | 55,6     | 61,2     | 87,5     | 52,1     | 49,9     | 30,3     | 56,4     | 75,3     | 65,6     |
| Totalt organisk karbon<br>kalkulert (% TS) | -        | -        | -        | 15,0     | -        | -        | -        | -        | -        | -        | -        | -        | -        | -        | -        |
| Total tørstoff glødetap<br>(% TS)          | -        | -        | -        | 26,4     | -        | -        | -        | -        | -        | -        | -        | -        | -        | -        | -        |

### 3.1 Vurdering av grunnlagsdataene

Jordbruksareal er vanligvis ikke vurdert som en næring som medfører grunnforurensning ved normal drift. Derimot vil en utfylling øke risikoen for at området kan ha blitt tilført forurensninger. Massene ble prøvetatt med stor tetthet og helt ned til 5 meters dybde der det var mulig. Forståelsen av massesammensetningen i området vurderes som god.

Basert på observasjonene ble mistanken om grunnforurensning svekket. De påfylte massene i tiltaksområdet fremsto som naturlige, og de påfylte massene var nokså homogene. Det ble funnet tegn til rundballeplast eller blandede massetyper i 8 av 79 prøver. Samtlige prøver med fyllmassepreg ble analysert. Resultatene fra analysene viste at kun en av disse prøvene (16-3) var forurenset, av sink i tilstandsklasse 2 (god). Forurensningen ble påvist der en mindre utfylling/foringsplass synes på flyfoto fra 2002 (se figur 2).

Multiconsult mistenkte forurensning knyttet til prøvepunkt 6 basert på funn av plast og trerester. Dette punktet ble avgrenset av omkringliggende prøvepunkt, alle bestående av rene masser. Funn av siloplast i sjiktene mellom påfylt og opprinnelig terrengkote sammenfaller med observasjoner fra felt og flyfoto om foring av beitedyr, og ser ikke ut til å være i direkte sammenheng med grunnforurensning.

Om hele tiltaksområdet vurderes som potensielt forurenset så tilfredsstillende mengden analyserte prøver veiledende prøvetetthet for diffus, spredt forurensning (gitt i Miljødirektoratets veileder). Resultatene viste derimot at området ikke er diffust forurenset, og at forurensningen er knyttet til et avgrenset område. Ved punktkilder økes anbefalt tetthet for prøvetaking innenfor områdene som mistenkes å være forurenset. Vår undersøkelse har avgrenset forurensningen rundt prøvepunkt 6 og rundt prøvepunkt 16 i alle himmelretninger innenfor henholdsvis 15 og 25 meter, i tillegg til å undersøke massesammensetningen i dybden. Prøve 16-3 var fra jordlaget mellom 2 og 3 meter. Ved 3 meters dybde var det et skift i massesammensetning; fra tilført organisk fyllmasse til stedegne, grove masser. Det kan ikke utelukkes at forurensningen går dypere, selv om det vurderes som lite sannsynlig. Prøve 16-4 (3-4 m) dybde kan ettersendes til analyse om det er ønskelig å avgrense den påviste forurensningen ytterligere i dybden.

Basert på observasjonene fra feltarbeidet og prøveresultatene vurderer vi at forurensningen er begrenset til punkt 16, og vi ser ikke behov for ytterligere prøvetaking av området.

## 4 REFERANSER

Kallelid, Maren Salte. 2022. Gravplass Orstad. Prøvegravinger. Grunnforhold. Multiconsult, dokumentkode 10244502-RIG-RAP-001.

Multiconsult, Supplerende grunn- og miljøundersøkelser for gravplass Orstad 7. juli 2022

Statens forurensningstilsyn, 2009. Veileder TA-2553, Helsebaserte tilstandsklasser for forurenset grunn.

### *Databaser*

Norge i bilder, <https://www.norgebilder.no/>

Temakart Rogaland, <https://www.temakart-rogaland.no/>

## VEDLEGG - PRØVEBESKRIVELSER

| Prøve | Jorddybde (cm) | Prøvebeskrivelse  | Analyse |
|-------|----------------|---|---------|
| 10-1  | 0-50           | Organisk materiale med innslag av silt og grus. Mye blokk i terrenget/under   | x       |
| 13-1  | 0-120          | Siltig, organisk materiale tom. 120 cm  | x       |
| 13-2  | 120-200        | Siltig sand   |         |
| 13-3  | 200-300        | Grusig, siltig sand   |         |
| 14-1  | 0-100          | Sandig organisk materiale   |         |
| 14-2  | 100-200        | Siltig organisk materiale. Mye trebiter og gresslag   | x       |
| 14-3  | 200-300        | Som over  |         |
| 15-1  | 0-100          | Siltig torv   |         |
| 15-2  | 100-200        | Siltig torv med mye organisk materiale inkl. trebiter   |         |
| 15-3  | 200-280        | Siltig sand   |         |
| 16-1  | 0-80           | Siltig organisk materiale med lite nedbrutt vegetasjonsrester   | x       |
| 16-2  | 80-180         | Siltig, jordig organisk materiale med noe mer fyllmassepreg. Mye organisk materiale, inkl. rester av silo og rundballeplast | x       |
| 16-3  | 200-300        | Som over, men mer rundballeplast her, og mindre planterester  | x       |
| 16-4  | 300-400        | Steinlag ved 300 cm   |         |
| 17-1  | 0-100          | Siltig, organisk materiale. Felt med ren silt i øvre 20 cm. En del plantemateriale og lite nedbrutte trerester              | x       |
| 17-2  | 100-200        | Som over  |         |
| 17-3  | 200-300        | Som over  | x       |
| 17-4  | 300-400        | Torver/gressstuser og organisk materiale  |         |
| 17-5  | 400-480        | Organisk materiale med noe småstein og sand. Noe mer fyllmassepreg  | x       |
| 18-1  | 0-100          | Siltig, organisk materiale.   |         |
| 18-2  | 100-200        | Siltig organisk materiale med innslag av sand og småstein   |         |
| 18-3  | 200-300        | Bløt silt/sand med organisk materiale   |         |
| 19-1  | 0-100          | Brun, sandig silt   |         |
| 19-2  | 100-170        | Brun, sandig silt   |         |
| 19-3  | 170-300        | Gråbrun, siltig sand  |         |
| 20-1  | 0-100          | Sandig, grusig silt med noe stein. Organisk preg  |         |
| 20-2  | 100-170        | Sandig silt med stein   | x       |
| 20-3  | 170-200        | Siltig, grå sand  |         |
| 21-1  | 0-100          | Siltig, organisk jord. Fukt i bunn  |         |
| 21-2  | 100-200        | Siltig, organisk jord. Enkelte felt med sand  |         |
| 21-3  | 200-300        | Sandige masser med stein  |         |
| 21-4  | 300-400        | Sandig, fuktig silt med morenestein   |         |
| 22-1  | 0-120          | Siltig organisk materiale   |         |
| 22-2  | 120-200        | Siltig sand med småstein. Rustrød i nedre 50 cm   |         |
| 22-3  | 200-300        | Siltig sand med småstein  |         |
| 23-1  | 0-130          | Siltig organisk materiale med delvis nedbrutt trebiter  | x       |
| 23-2  | 140-200        | Gradvis overgang fra silt til sand  |         |
| 23-3  | 220-300        | Sand. Leirefelt ved 220-230 cm  |         |
| 24-1  | 0-80           | Grusig torv   | x       |
| 24-2  | 80-150         | Organisk materiale/torv med stein/grus. Blokk i bunn  |         |
| 25-1  | 0-100          | Siltig organisk materiale med grus  |         |
| 25-2  | 100-130        | Siltig sand med småstein og gresslag  |         |

|      |         |  |   |
|------|---------|--|---|
| 25-3 | 130-230 | Siltig torv med trebiter.  |   |
| 25-4 | 230-300 | Sand/silt med leirefelt og stein i bunn  |   |
| 26-1 | 0-100   | Organisk materiale med mye planterester  |   |
| 26-2 | 100-200 | Som over   | x |
| 26-3 | 200-300 | Som over   |   |
| 27-1 | 0-100   | Organisk materiale med mer fyllmassepreg (mer planterester spredt, og en fyllittbit) | x |
| 27-2 | 100-200 | Som over   | x |
| 27-3 | 200-280 | Organisk materiale med sand, tre, gressrester og stein. Fyllmassepreg                | x |
| 28-1 | 0-100   | Siltig organisk materiale. Mye røtter. Felt med leire i nedre 20 cm                  |   |
| 28-2 | 100-200 | Brun siltig sand med fargevarianser. Felt med organisk jord.                         | x |
| 28-3 | 240-300 | Gul sand. Grovere i bunn   |   |
| 29-1 | 0-100   | Siltig, organisk materiale med fyllmassepreg, inkl. stein, trerester, sand           | x |
| 29-2 | 100-200 | Som over. Inkl. teglbit  | x |
| 29-3 | 200-300 | Brunjord med mindre fyllpreg   | x |
| 29-4 | 300-380 | Som over   |   |
| 29-5 | 380-450 | Fuktig sand  | x |
| 30-1 | 0-100   | Siltig organisk materiale med noe planterester                                       |   |
| 30-2 | 100-200 | Som over   | x |
| 30-3 | 200-300 | Som over   |   |
| 30-4 | 300-400 | Som over   |   |
| 30-5 | 400-450 | Organisk materiale. Fastere og en del trerester                                      | x |
| 31-1 | 0-100   | Siltig organisk materiale med trebiter   |   |
| 31-2 | 100-200 | Som over. Med lite sandfelt  | x |
| 31-3 | 200-300 | Siltig organisk materiale i topp. Nedre 50 cm sand. Stein i bunn                     |   |
| 32-1 | 0-100   | Siltig med organisk materiale  | x |
| 32-2 | 100-200 | Siltig med organisk materiale. Stein i bunn  |   |
| 33-1 | 0-100   | Siltig organisk materiale  |   |
| 33-2 | 100-200 | Siltig organisk materiale  | x |
| 33-3 | 200-300 | Siltig organisk materiale  |   |
| 34-1 | 0-100   | Organisk siltig jord   |   |
| 34-2 | 100-200 | Organisk siltig jord   |   |
| 34-3 | 200-300 | Organisk siltig jord   |   |
| 34-4 | 300-310 | Sand. Stein i bunn   |   |
| 35-1 | 0-100   | Siltig, organisk materiale. Noen grove sandfelt. En del planterester                 |   |
| 35-2 | 100-140 | Som over   |   |
| 35-3 | 140-200 | Siltig sand i øvre 20 cm. Torver og siltig organisk materiale.                       | x |
| 35-4 | 200-300 | Siltig organisk materiale. Ikke testet dypere  |   |

Nedenfor følger eksempelbilder som representerer massesammensetningen i tiltaksområdet:

Prøvepunkt 10

Prøvepunkt 14

Prøvepunkt 16, 0-1 m



Prøvepunkt 13

Prøvepunkt 15

Prøvepunkt 16, 0,8-1,8 m



Prøvepunkt 17, 0-1 m



Prøvepunkt 17, 1-2 m



Prøvepunkt 17, 2-3 m



Prøvepunkt 17, 3-4 m



Prøvepunkt 17, 4-4,8 m



Prøvepunkt 18, 0-1 m



Prøvepunkt 18, 1-2 m



Prøvepunkt 18, 2-3 m



Prøvepunkt 19, 0-1 m



Prøvepunkt 19, 1-2 m



Prøvepunkt 19, 2-3 m



Prøvepunkt 20, 0-1 m



Prøvepunkt 20, 1-2 m



Prøvepunkt 21, 0-1 m



Prøvepunkt 21, 1-2 m



Prøvepunkt 21, 2-3 m



Prøvepunkt 21, 3-4 m



Prøvepunkt 24

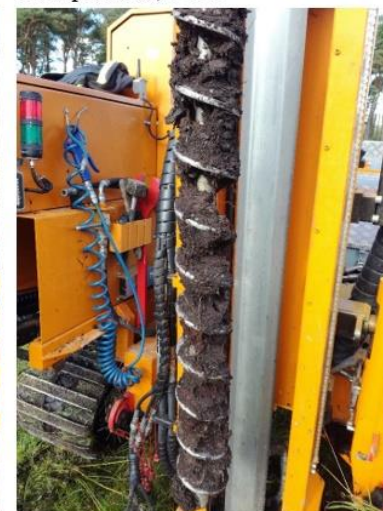
Prøvepunkt 26

Prøvepunkt 27, 0-1 m



Prøvepunkt 25

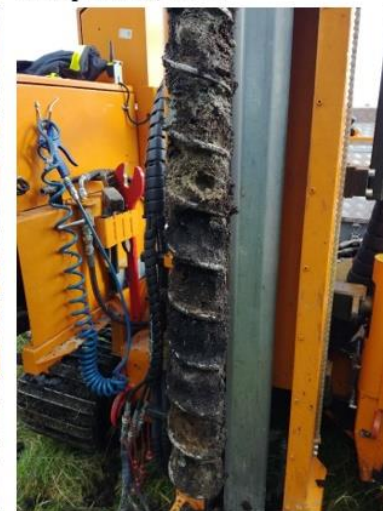
Prøvepunkt 27, 1-2 m



Prøvepunkt 28, 0-1 m



Prøvepunkt 28, 1-2 m



Prøvepunkt 28, 2-3 m



Prøvepunkt 29, 0-1 m



Prøvepunkt 30  
Prøvepunkt 32, 0-1 m



Prøvepunkt 31  
Prøvepunkt 32, 1-2 m



Prøvepunkt 29  
1-2 m



Prøvepunkt 29, 2-3 m



Prøvepunkt 29, 3-4 m



Prøvepunkt 29,  
4-5 m



Prøvepunkt 33, 0-1 m



Prøvepunkt 33, 1-2 m



Prøvepunkt 34, 1-2 m



Prøvepunkt 35, 0-1 m



Prøvepunkt 35, 1-2 m



Prøvepunkt 35



## **VEDLEGG - ANALYSERESULTATER**